

石狩川流域における年間降雪・降水量の関係とその分布

北海道大学 工学部 正員 山岡 熟
 北海道大学 工学部 正員 藤田 瞳博
 北海道大学 大学院 学生員 ○星 清

1. まえがき 横雪期間をもつ河川流域では、防災工学、水資源開発上も年間降雪、降水量の関係や分布に関する水文学的研究が必要であるが、従来この種の研究は少ない。従って資料にも乏しいが、本研究は石狩川流域における以上の特性についての解析結果を述べる。

2. 流域の概況 FIG 1に石狩川流域及び解析用いた77個の雨量観測所の位置を示す。TABLE 1にこの流域を9流域に分割したときの各流域に属する観測所名を示す。
 なおFIG 1の観測所に付した番号は、TABLE 1, 2の番号に対応している。

3. 降雪量の分離法 雨量観測所の資料では降水と降雪は分離されてあらす降水量という形で記録されている。又横雪深の記録があつても横雪の密度にはかなりの変化があるので、降雪量への置換が困難である。従って毎日の気象図などを参照して分離したが、結果的には12月～3月、あるいは11月～2月の降水量を降雪量と見なしても大差のないことが確かめられた。(気象図の他、横雪記録との照合も行なった。)

4. 年降水量(R_p)と年降雪量(R_s)の関係

石狩川流域を9流域(FIG 7のⒶ～⑨)に分割した場合の各流域をTABLE 1に示す。その1例として石狩川上流域における年降水量(R_p , mm)と年降雪量(R_s , mm)の関係をFIG 2に示す。なお各流域毎の解析資料は気象台、北海道開発局関係の昭和30年から昭和39年までの資料を蒐集したものである。又TABLE 2に示した観測所は比較的長期の資料を有しており、FIG 3はその1例として札幌における R_p と R_s の関係を示したものである。FIG 4は石狩川全流域にわたる75個の雨量観測所について10年間の R_p と R_s をプロットしたものである。上述の流域別、長期資料をもつ各観測所、石狩川全流域の R_p と R_s の関係図における特徴としては：

(1)流域別関係図における各観測所毎の10点はばらついてあり、観測所毎の相関は明確でないが、観測所別の点群には明らかに正の相関が認められる(FIG 2, TABLE 1)。石狩川全流域(FIG 4)および長期資料をもつ10観測所(TABLE 2)の場合もそれぞれ R_p と R_s は明らかに相関を示すことが確

Locations of Stations for Precipitation in the Ishikari River Basin

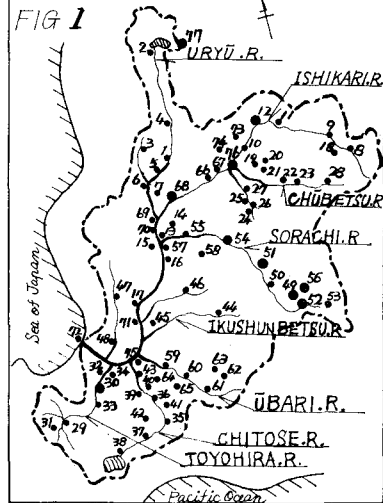
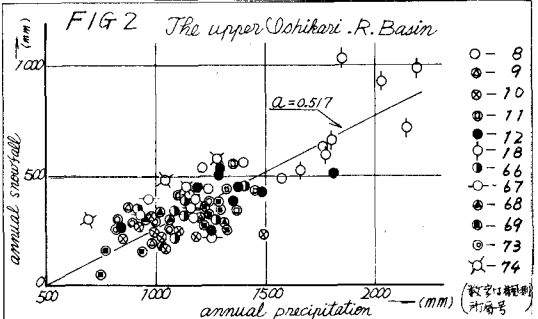


FIG 2 The upper Ishikari R. Basin



められだ。

(b) R_s と R_p の関係は最も簡単な次式で表わされる。²⁾

$$R_s = a_1 R_p + b_1 \quad \cdots \cdots (1)$$

すなはち $b_1 = 0$ の場合は比率の形となり、実用上便利である。しかしながら筆者らは、石狩川流域の全観測所における年降水量が500mmを下らないことに着目して、これに基づき年降雪量 R_s と年降水量 R_p を次の直線式(2)で表わしたが、各流域においてもこの式は近似的に十分実用的なことがわかった。

$$R_s = a(R_p - 500) \quad \cdots \cdots (2)$$

FIG 5は年降水量と年降雪量の変動の状態を比較するため、各観測所毎の年降水量の変動係数と年降雪量の変動係数をプロットしたものであり、年降雪量の変動の方が大きいことがうかがえる。FIG 5からも年降雪量と年降水量の関係を。

(1)式で表わすことは、 R_s と R_p の変動程度が不均衡のためその適応性について更に吟味を要する。次に FIG 6は同様に年降水量から500mmを差し引いた値、すなはち $R_p - 500$ の変動係数と年降雪量の変動係数をプロットしたもので、これによると石狩川流域の場合にはこの両者の変動の度合はほぼ同一と考えてさしつかえない。すなはち、年降雪量と年降水量の関係式は(2)式の方が(1)式よりも適確であると考えられる。しかも(1)式の b_1 は流域毎に異なった値を探り、流域相互の特性を比較検討する場合、(2)式の方が a の一つの変数で代表することができ、解析に有利である。すなはち石狩川全流域、9流域、長期資料観測所の $R_p - 500$ の変動係数と R_s の変動係数をそれぞれ、FIG 4, TABLE 1, TABLE 2に示す。これらの値からもわかるように両者の変動の状態はほぼ同一である。

(2)式の一次回帰線の検定を行なった結果、各流域とも危険率0.1%で母集団に一次回帰のあることが

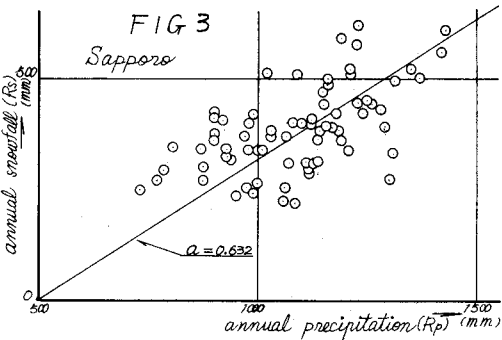


FIG 3

Relation of annual snowfall to annual precipitation throughout the Ishikari River Basin

correlation coefficient between $R_p - 500$ and R_s = 0.75
coefficient of variation for $R_p - 500$ = 0.41
coefficient of variation for R_s = 0.47

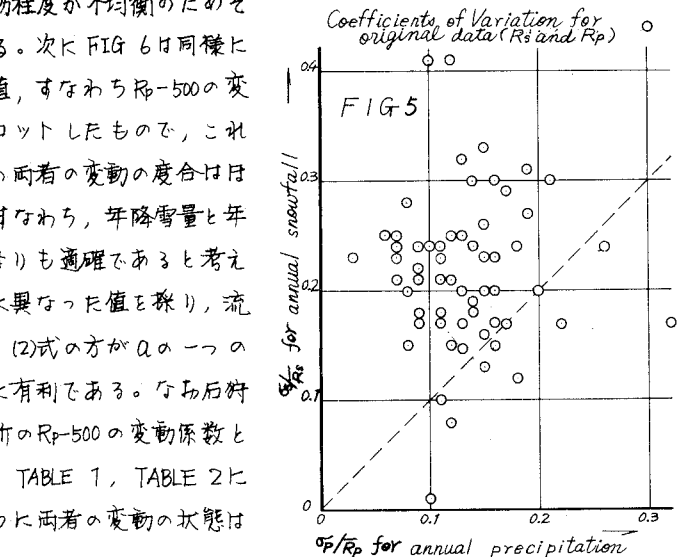
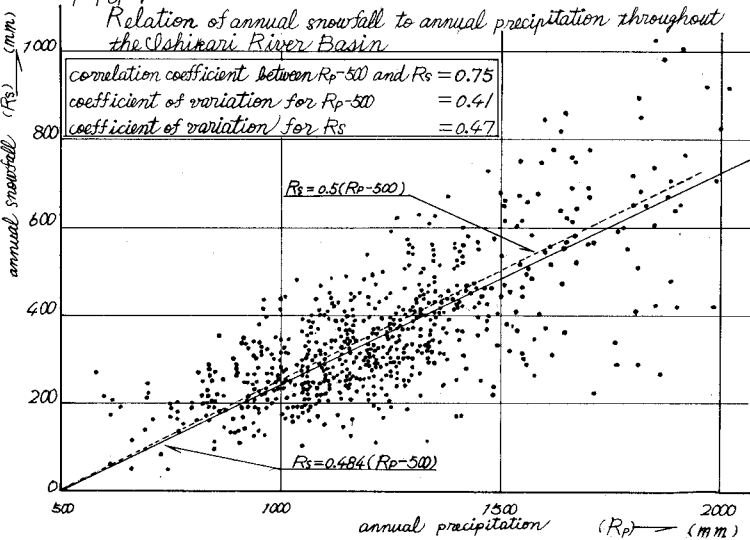


FIG 5

認められた。検定の手法は自由度N-1のF分布によつて。検定のFの値をTABLE 1, TABLE 2に示す。

9流域とも年降雪量と年降水量の関係は年降水量から一律K 500mmを差し引いた(2)式で与えられるが、各流域毎に最適な一次回帰線を求めようすれば、一律K 500mmを引くのではなく、各流域毎に異なる定数 a_2 , b_2 を用いた次式によらねばならない。

$$R_s = a_2(R_p - b_2) \quad \dots \dots \dots (3)$$

今、最適な一次回帰線を年降水量と年降雪量の相互のバラツキが最も小さいときの直線と定義すれば、 b_2 の値は

$R_p - b_2$ の変動係数 = R_s の変動係数とあくことによって決定できる。各流域毎の b_2 の値

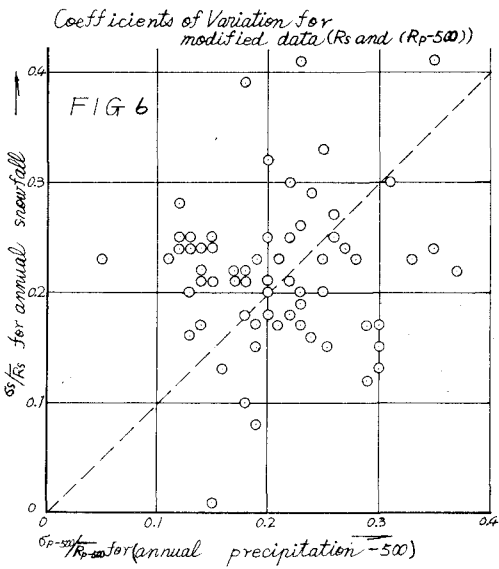


TABLE 1 Relations between Snowfall and Precipitation for the Ushikari River Basin

流域	雨量観測所	資料数	$R_p=500$	R_s の変動係数	相関係数	回帰線	F値
① 雨龍川流域	1 寒泊 2 朱鞠内 3 昭和 4 岩加内 5 多度志 6 石狩沼田 7 桂父別	58	0.30	0.30	0.71	$R_s = 0.552(R_p - 500)$	94.3
② 石狩川上流流域	8 曽雲峠 9 真駒別 10 木山 11 下黎別 12 羅別 13 白山渓 66 神居古瀬 67 伊納 68 深川 69 伏古 73 比布 74 江丹別	89	0.41	0.43	0.80	$R_s = 0.577(R_p - 500)$	195.8
③ 中央川流域	19 ハーパン 20 横岡 21 米原 22 東恵別 23 江釣発電所 24 边別 25 壱台 26 美瑛 27 西森 28 白石	64	0.43	0.34	0.71	$R_s = 0.501(R_p - 500)$	117.0
④ 空知川流域	49 西邊布 50 山部 51 寛良野 52 美東 53 北湯合 54 萩別 55 喰食 56 鶴郷 57 空知太 58 美志内	82	0.36	0.34	0.53	$R_s = 0.405(R_p - 500)$	84.8
⑤ 綾春別川流域	44 綾春別 45 西川町 46 美唄	29	0.19	0.27	0.30	$R_s = 0.508(R_p - 500)$	12.1
⑥ 夕張川流域	59 黒山 60 由仁 61 円山 62 清水沢 63 夕張 64 黒沢 65 角田	63	0.39	0.35	0.62	$R_s = 0.426(R_p - 500)$	84.4
⑦ 子歳川流域	35 沼越 36 舞鶴 37 鮎化場 38 支笏湖 39 鶴 40 鶴向 41 長沼 42 漁市町 43 薩の沢	79	0.45	0.40	0.60	$R_s = 0.354(R_p - 500)$	97.4
⑧ 豊平川流域	29 宮山渓 30 札幌 31 特別 32 球似 33 后山 34 雅来	54	0.33	0.33	0.82	$R_s = 0.529(R_p - 500)$	145.7
⑨ 江別川中下流域	13 潟川 14 江部乙 15 新十津川 16 沙川吉野 17 月形 47 青山中央 48 特別 70 橋本町 71 北村 72 后野 75 江別	86	0.31	0.40	0.76	$R_s = 0.507(R_p - 500)$	123.3

を TABLE 3に示す。この表から考案すれば各流域毎の b_2 の値は異なるが、石狩川流域の平均値を500mmとしても実用上十分な精度をもつて考えられる。よって本流域では水文量500mmは年降水量と年降雪量の変動の度合が最小になる補正量といえる。

5. 定数 a_2 の流域別分布図

石狩川流域を9流域に分割したときの年降雪量と年降水量の一次回帰線(2)式における分配 a_2 は地形的、あるいは水に起因する気象学的流域特性を表わしているものと考えられる。TABLE 2に示す回

TABLE 2 Relations between annual Snowfall and Precipitation for ten Stations in the Ushikari River Basin

Station	sample size	$R_p=500$	R_s の変動係数	相関係数	回帰線	F値
① 77雨龍	20	0.31	0.22	0.42	$R_s = 0.584(R_p - 500)$	19.0
② 68琴川	35	0.29	0.26	0.42	$R_s = 0.584(R_p - 500)$	30.9
③ 76旭川	51	0.28	0.19	0.38	$R_s = 0.523(R_p - 500)$	49.5
④ 12夢別	42	0.30	0.22	0.55	$R_s = 0.488(R_p - 500)$	52.9
⑤ 54芦別	36	0.28	0.22	0.47	$R_s = 0.533(R_p - 500)$	40.0
⑥ 51豊浦	35	0.38	0.26	0.37	$R_s = 0.497(R_p - 500)$	30.9
⑦ 49五竜	36	0.27	0.23	0.56	$R_s = 0.428(R_p - 500)$	42.9
⑧ 56簾舞	29	0.29	0.27	0.36	$R_s = 0.525(R_p - 500)$	22.3
⑨ 52枝前	19	0.36	0.36	0.66	$R_s = 0.449(R_p - 500)$	24.7
⑩ 30札幌	77	0.26	0.25	0.56	$R_s = 0.632(R_p - 500)$	86.8

帰線の分配を流域図に図示したものがFIG.7である。(2)式から

$$a = \text{年降雪量} / \text{年降水量} - 500 \quad \dots \dots \dots \quad (4)$$

であり、 α の大きさについては次の2つの場合が考えられる。

(a)各流域毎の年降水量かはは一定とみなせるととき、年降雪量が大きくなる程 α の値は大きくなり、逆に年降雪量が小さな程 α の値が小さくなる。地形学的観点から年降雪量が大きい値を採るのは山岳地帯であり、年降雪量が小さい値を採るのは平坦地と一般には考えられる。

(b) 地形学的、気象学的原因で年降水量が相対的に小さい値をとるとき、 α の値は小さくなる。

FIG 7 の α の分布図をみると②(空知川流域) ⑤(夕張川流域) ⑥(千歳川流域) は他の流域に比して、 α の値が小さいとか注目される。地形図を参照すると④, ④流域は石狩平野に属する平坦地で、その他の流域は山岳地帯であることがわかる。すなはち④, ④の α の値の(a)の理由による年降雪量の小さい場合である。ただ⑦流域が山岳地帯かわらず、 α の値が小さいのは(b)の理由であると考えられる。⑦流域降雪量の関係を調べてみると、確かに⑦は他の流域に比べて年降水量が少なかった。⑦は降雪量が少なく R_S と R_P の相関が悪いことはすでに指摘

α の値は定性的に地形学的起因に依存していると考えられるから、石狩川流域を河川流域別に分けるほかに、地形学的觀点から分けるのも一方法である。

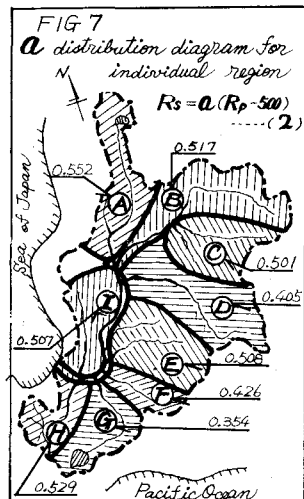


TABLE 3

<u>Drainage Basins</u>	<u>b₂ (mm)</u>
(A)	506
(B)	542
(C)	360
(D)	454
(E)	745
(F)	409
(G)	419
(H)	484
(I)	676

TABLE 4

Regions	a	b_2 (mm.)
A	0.552	506
B	0.512	487
D	0.438	570
E	0.426	487
F	0.507	676

$$R_S = 0.5 (R_B - 500) \quad \dots \dots \dots \quad (5)$$

なお各流域別の α を示す R_s と R_p の詳細図は文献(3)にゆずる。

本研究は文部省科学研究費(特定研究(水文学))の補助を受けたことを付記する。

参考文献

- 1) 気象協会北海道本部 : 北海道の気象, 第9巻 第2号, 1965.2 NO. 137
 2) 山岡・藤田・天谷 : 石狩川流域における3年間降雪, 降水量の比率ヒストリカル解析について, 工木学会第22回年次学術講演会講演概要, 1967
 3) 山岡・藤田・星 : 石狩川流域における3年間降水量の分布, 石狩川の流出解析と流域大削減研究, 北大IHD研究7-11-70, 昭43.3